

# Sistemas dinámicos discretos e iteradas de funciones complejas: fractales, caos y estabilidad.

David Armenteros Soto  
Tutor: Pedro José Torres Villarroya

<sup>1</sup>Universidad de Granada  
Facultad de ciencias

<sup>2</sup>Universidad de Granada  
Escuela Técnica Superior de Ingenierías Informática y Telecomunicación

1 de diciembre de 2021

# Índice general

- 1 Introducción
  - Motivación
  - Objetivos
- 2 Sistemas dinámicos discretos
- 3 Sistemas dinámicos complejos
  - Conjunto de Julia
  - Conjunto de Mandelbrot
- 4 Fractales
  - Sistema de funciones iteradas
  - Sistema de Lindemayer
- 5 Dimensión fractal
- 6 Visualización de fractales con ray tracing

# Índice general

## 1 Introducción

- Motivación
- Objetivos

## 2 Sistemas dinámicos discretos

## 3 Sistemas dinámicos complejos

- Conjunto de Julia
- Conjunto de Mandelbrot

## 4 Fractales

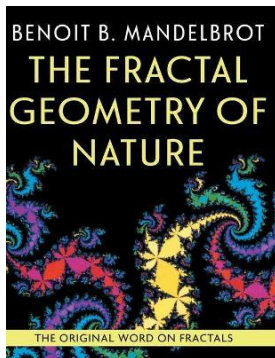
- Sistema de funciones iteradas
- Sistema de Lindemayer

## 5 Dimensión fractal

## 6 Visualización de fractales con ray tracing

# Introducción

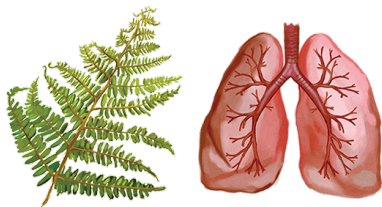
En la naturaleza con frecuencia aparecen formas que somos incapaces de describir. Si observamos a nuestro alrededor, percibimos objetos que repiten un patrón indefinidamente.



# Motivación

*La geometría fractal cambiará a fondo su visión de las cosas. Seguir leyendo es peligroso. Se arriesga a perder definitivamente la imagen inofensiva que tienen las nubes, bosques, galaxias, hojas, plumas, flores, rocas, montañas y muchas otras cosas. Jamás volverá a recuperar las interpretaciones de todos estos objetos que hasta ahora le eran familiares.*

**Michael Barnsley**



# Objetivos

- Definir, explicar y exponer nociones básicas de los sistemas dinámicos discretos: iteradas, puntos fijos, puntos periódicos, estabilidad, ...
- Ejemplificar la teoría de sistemas con ejemplos lineales y no lineales mediante el uso de herramientas informáticas para la representación de mapas, iteradas, órbitas, puntos fijos y periódicos.
- Introducir la teoría del caos, representar diagramas de bifurcación y calcular el exponente de Lyapunov.
- Explicar y representar los conjuntos de Julia y de Mandelbrot y fractales de Newton.
- Generar y visualizar fractales de dos dimensiones mediante su construcción clásica y sistemas de Lindemayer.
- Formalizar la construcción de fractales mediante SFI.
- Definir y explicar la dimensión de Hausdorff. Implementar el algoritmo box counting para el cálculo de esta dimensión.
- Visualizar fractales tridimensionales (Mandelbulb, Mandelbox y cuaterniones de Julia) mediante ray tracing.

# Índice general

- 1 Introducción
  - Motivación
  - Objetivos
- 2 Sistemas dinámicos discretos
- 3 Sistemas dinámicos complejos
  - Conjunto de Julia
  - Conjunto de Mandelbrot
- 4 Fractales
  - Sistema de funciones iteradas
  - Sistema de Lindemayer
- 5 Dimensión fractal
- 6 Visualización de fractales con ray tracing

# Sistemas dinámicos discretos

## Definición

Sea  $X \subset \mathbb{R}^n$ ,  $X = (X, d)$  un espacio métrico y  $f: X \rightarrow X$  una función continua. Un **sistema dinámico discreto** es un par de la forma  $(X, f)$  donde  $f$  es el **mapa** asociado al sistema.

**Conceptos previos:** mapa, iterada, órbita, valor inicial, punto fijo, punto periódico, estabilidad, atracción, repulsión, hiperbolicidad, caos, ...



Figura: [Canva] Conceptos básicos



# Índice general

- 1 Introducción
  - Motivación
  - Objetivos
- 2 Sistemas dinámicos discretos
- 3 **Sistemas dinámicos complejos**
  - Conjunto de Julia
  - Conjunto de Mandelbrot
- 4 Fractales
  - Sistema de funciones iteradas
  - Sistema de Lindemayer
- 5 Dimensión fractal
- 6 Visualización de fractales con ray tracing

# Sistemas dinámicos complejos

- Conjunto de Julia
- Conjunto de Mandelbrot



Figura: Gaston Julia



Figura: Benoit B. Mandelbrot

# Conjunto de Julia

## Definición

Sea  $f: \mathbb{C} \rightarrow \mathbb{C}$  un mapa continuo. Se define el **conjunto de Julia relleno** asociado al mapa  $f$ :

$$K(f) = \{z \in \mathbb{C} : O^+(z) \text{ acotada}\}$$

## Definición

Se define el **conjunto de Julia**  $J(f)$  (asociado al mapa  $f$ ) como la frontera del conjunto de Julia relleno  $K(f)$ . Equivalentemente,  $J(f)$  se puede definir como la frontera del conjunto de escape:

$$E = \left\{ z \in \mathbb{C} : \lim_{n \rightarrow \infty} |f^n(z)| = \infty \right\}$$

El conjunto de Julia que analizaremos está ligado al mapa cuadrático:

$$z_{n+1} = f_c(z_n) = z_n^2 + c \quad \text{con } c \in \mathbb{C}$$

# Conjunto de Julia

**Notación** El conjunto de Julia relleno y el conjunto de Julia ligados al mapa  $f_c(z)$  se denotan, respectivamente, como  $K_c$  y  $J_c$ .

## Teorema

Dado  $z \in \mathbb{C}$  y el mapa  $f_c(z) = z^2 + c$ . Si  $|z| > \max\{2, |c|\}$  entonces:

$$\lim_{n \rightarrow \infty} |f_c^n(z)| = \infty$$

.

Sea  $r(c) = \max\{|c|, 2\}$ . Se conoce a  $r(c)$  como el **radio umbral** de  $f_c$ .

# Conjunto de Julia

- 1 Algoritmo para el conjunto de Julia relleno en blanco y negro
- 2 Algoritmo de iteración inversa (cerco del conjunto de Julia)

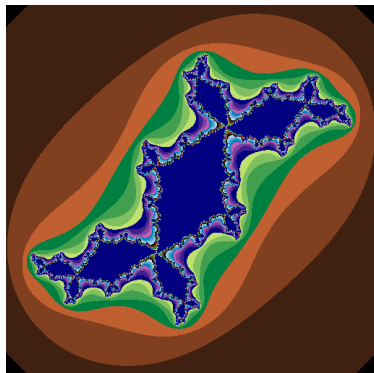
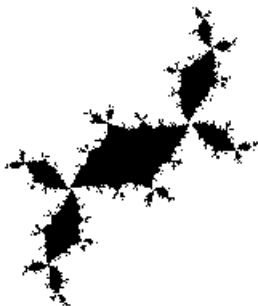


Figura: [Python] Conjunto de Julia relleno  $K_{-0.1+0.8i}$  ( **El conejo de Douady** )

# Conjunto de Julia

## Teorema

Las siguientes afirmaciones sostienen que:

- ❶ Si  $0 \in K_c$  entonces el conjunto de Julia  $J_c$  es **arcoconexo**
- ❷ Si  $0 \notin K_c$  entonces el conjunto de Julia  $J_c$  es **disconexo**

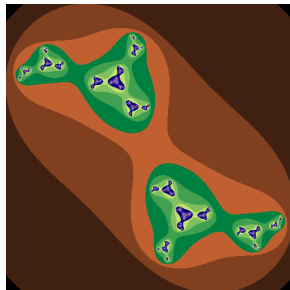
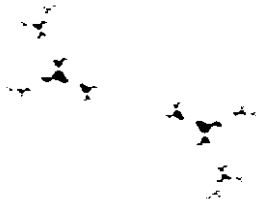


Figura: [Python] Conjunto de Julia relleno desconexo  $K_{-1,2i}$

# Conjunto de Mandelbrot

## Definición

El **conjunto de Mandelbrot** consta de todos los valores de  $c \in \mathbb{C}$  para los que la órbita de 0 bajo  $f_c$  está acotada, es decir, no escapa al infinito.

$$M = \{c \in \mathbb{C} : O^+(0) \text{ acotada bajo } f_c\}$$

## Corolario

Para el mapa cuadrático  $f_c$ , se tiene que:

- ❶  $c \in M$  y el conjunto de Julia correspondiente  $J_c$  es **arcoconexo**.
- ❷  $c \notin M$  y el conjunto de Julia correspondiente  $J_c$  es **disconexo**.

## Definición

El corolario anterior proporciona una caracterización del conjunto de Mandelbrot:

$$M = \{c \in \mathbb{C} : J_c \text{ es arcoconexo}\}$$

# Conjunto de Mandelbrot

## Teorema

Si  $f_c$  tiene un punto periódico atractivo entonces  $c \in M$ .

## Teorema

El conjunto de Mandelbrot  $M$  está contenido en el disco cerrado de radio 2:

$$M \subset \{c \in \mathbb{C} : |c| \leq 2\}$$

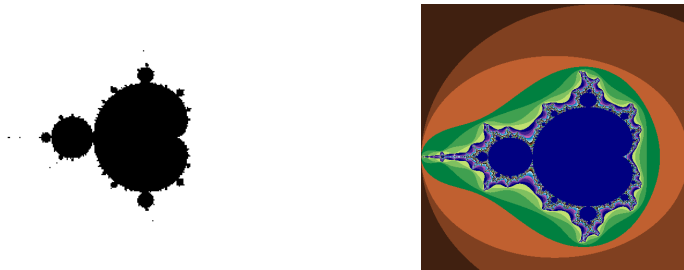


Figura: [Python] Conjunto de Mandelbrot



# Índice general

- 1 Introducción
  - Motivación
  - Objetivos
- 2 Sistemas dinámicos discretos
- 3 Sistemas dinámicos complejos
  - Conjunto de Julia
  - Conjunto de Mandelbrot
- 4 **Fractales**
  - Sistema de funciones iteradas
  - Sistema de Lindemayer
- 5 Dimensión fractal
- 6 Visualización de fractales con ray tracing

# Fractales

## Definición

Un fractal es un objeto geométrico cuya estructura muestra **autosimilitud** (a veces llamada autosemejanza o autosimilaridad) y que se construye a partir de un patrón o imagen repetida a diferentes escalas.

## Definición

Un fractal es un subconjunto de  $\mathbb{R}^n$  cuya dimensión de Hausdorff es estrictamente mayor que la dimensión topológica.

- Sistema de funciones iteradas
- Sistemas de Lindemayer

# Sistema de funciones iteradas

## Definición

Sea  $F_1, F_2, \dots, F_N$  una familia de contracciones de  $\mathbb{R}^2$  y  $S \in H(\mathbb{R}^2)$  un subconjunto cerrado y acotado de  $\mathbb{R}^2$ . Se dice que el sistema  $\{S, F\} = \left\{S, \bigcup_{i=1}^N F_i\right\}$  es un **sistema de funciones iteradas**.

## Teorema

Si  $F_1, F_2, \dots, F_N$  son contracciones de  $\mathbb{R}^2$ , entonces existe un atractor global  $A \in H(\mathbb{R}^2)$  para el mapa unión u operador de Hutchinson  $F = \bigcup_{i=1}^N F_i$ . Más concretamente, para todo  $B \in H(\mathbb{R}^2)$ ,  $F^n(B)$  converge a  $A$  con la distancia de Hausdorff.

# Sistema de funciones iteradas

## Algoritmos para la obtención del fractal asociado a un SFI

- SFI determinista: se basa en calcular directamente la sucesión  $\{F^n(S)\}$
- SFI aleatorio: asignamos a cada contracción  $F_i$  una probabilidad  $p_i > 0$  de ser seleccionado.

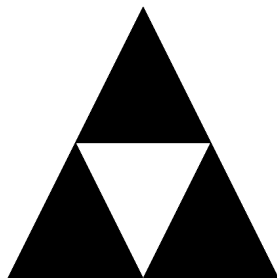


Figura: [Python] (i) Triángulo de Sierpiński (ii) Helecho de Barnsley

# Sistema de Lindemayer

## Definición

Se trata de una técnica para definir objetos complejos reemplazando sucesivamente partes de un objeto inicial usando reglas de escritura. Los sistemas de Lindenmayer están compuestos de tres componentes principales:

- Alfabeto
- Axioma
- Reglas de producción

# Sistema de Lindemayer

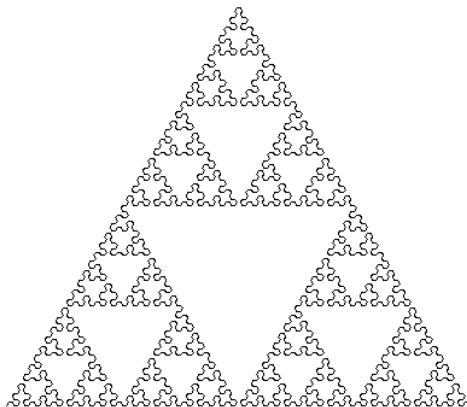
## Gráficos turtle

Instrucciones para la tortuga:

- **F**: avanza un paso (de cierta longitud  $l$ ) dibujando el camino.
- **f**: lo mismo que **F** pero sin dibujar la trayectoria.
- **+**: gira a la izquierda (sentido antihorario) con un ángulo  $\theta$ .
- **-**: gira a la derecha (sentido horario) con un ángulo  $\theta$ .

Comando	Interpretación
L	$+F - F - F+$
R	$-F + F + F-$
S	$FF + F + FF - F - FF$
Z	$FF - F - FF + F + FF$
D	$--F++F$
E	$F--F++$

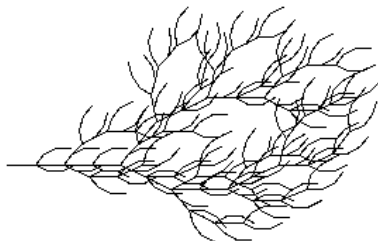
# Sistema de Lindemayer



**Figura:** [Python] Punta de flecha de Sierpiński. Axioma:  $L$ , reglas de producción:  
 $L \rightarrow +R - L - R+$ ,  $R \rightarrow -L + R + L-$  y parámetros:  $\theta = 60^\circ$

## Estructuras ramificadas

Un punto de bifurcación comienza con el comando [ y termina con ].



**Figura:** [Python] Ramificación de un arbusto. Axioma:  $F$ , reglas de producción:  
 $F \rightarrow FF + [+F - F - F] - [-F + F + F]$  y parámetros:  $\theta = 25^\circ$



# Índice general

- 1 Introducción
  - Motivación
  - Objetivos
- 2 Sistemas dinámicos discretos
- 3 Sistemas dinámicos complejos
  - Conjunto de Julia
  - Conjunto de Mandelbrot
- 4 Fractales
  - Sistema de funciones iteradas
  - Sistema de Lindemayer
- 5 Dimensión fractal
- 6 Visualización de fractales con ray tracing

# Dimensión fractal

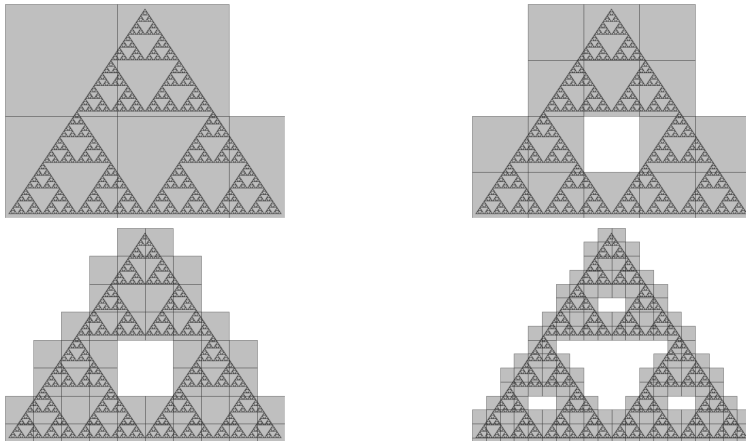
## Definición

Sea  $A \in H(X)$  donde  $(X, d)$  es un espacio métrico. Para todo  $\epsilon > 0$ , sea  $N(A, \epsilon)$  el menor número de bolas cerradas de radio  $\epsilon > 0$  necesarias para cubrir  $A$ . Si

$$D = \lim_{\epsilon \rightarrow 0} \left\{ \frac{\ln(N(A, \epsilon))}{\ln(\frac{1}{\epsilon})} \right\}$$

existe entonces  $D$  es la dimensión fractal de  $A$ .

# Dimensión Box Counting



**Figura:** [Python] Algoritmo box counting para el triángulo de Sierpiński con cajas de dimensiones (i)  $2^9$  (ii)  $2^8$  (iii)  $2^7$  (iv)  $2^6$  píxeles.

# Dimensión Box Counting

Dimensión	$2^9$	$2^8$	$2^7$	$2^6$	$2^5$	$2^4$	$2^3$	$2^2$
Número	5	15	48	160	470	1352	3991	10993

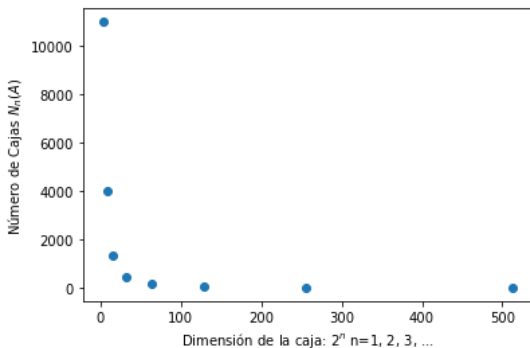
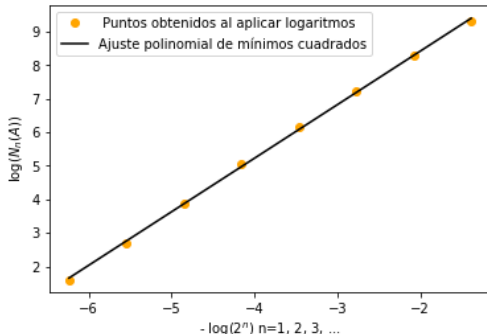


Figura: [Python] Conteo de cajas para el triángulo de Sierpiński

## Dimensión Box Counting

La pendiente de la recta de mejor ajuste coincide con la dimensión box counting y su valor es 1,59



**Figura:** [Python] Recta de mejor ajuste de la gráfica logarítmica para el triángulo de Sierpiński

# Índice general

- 1 Introducción
  - Motivación
  - Objetivos
- 2 Sistemas dinámicos discretos
- 3 Sistemas dinámicos complejos
  - Conjunto de Julia
  - Conjunto de Mandelbrot
- 4 Fractales
  - Sistema de funciones iteradas
  - Sistema de Lindemayer
- 5 Dimensión fractal
- 6 Visualización de fractales con ray tracing

# Visualización de fractales con Ray Tracing

El **Ray Tracing** (o trazado de rayos) es una técnica de renderizado que puede simular de manera realista la iluminación de una escena y sus objetos al generar reflejos, refracciones, sombras e iluminación indirecta.

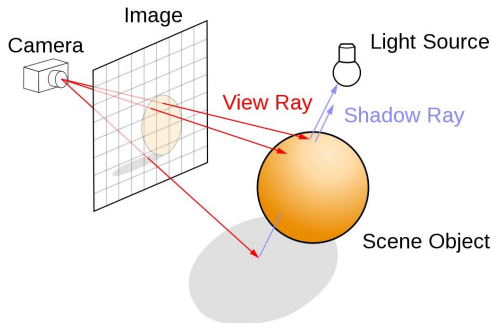


Figura: Conceptos básicos del trazado de rayos

# Visualización de fractales con Ray Tracing

## Imagen

```
P3
3 2
255
255 0 0 0 255 0 0 0 255
255 255 0 255 255 255 0 0 0
```

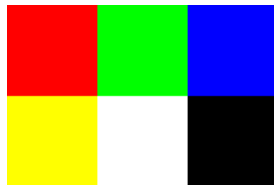


Figura: Formato de Imagen PPM

## Rayos

Todo rayo tiene una posición de **origen**  $O$ , una posición de **destino**  $D$  y un vector **dirección**  $d$  que dice hacia dónde apunta. De esta forma, definimos un rayo como la recta:

$$r(t) = O + \frac{D - O}{\|D - O\|} t = O + dt \quad O, D, d \in \mathbb{R}^3, t \in \mathbb{R}$$





# Visualización de fractales con Ray Tracing

## Modelo de reflexión de Phong

- Ambiental
- Difusa
- Especular

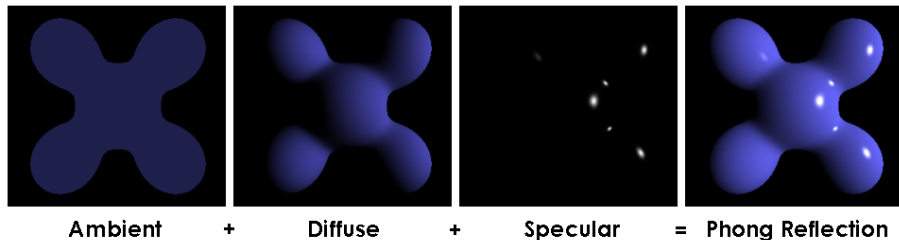


Figura: Iluminación de Phong

# Visualización de fractales con Ray Tracing

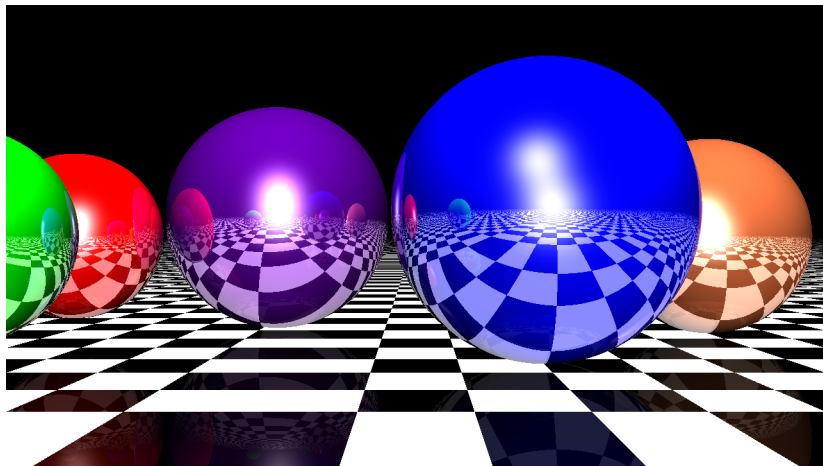


Figura: [Python] Esferas sobre un tablero de ajedrez.

# Ray marching

El **ray marching** (o marcha de rayos) es una técnica con ciertas similitudes al ray tracing que renderiza objetos a través de campos de distancia.

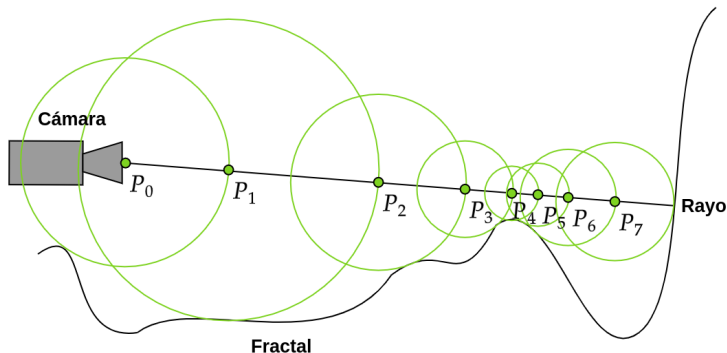


Figura: [Mathcha] Marcha de rayos

## Aproximación de la normal de una superficie fractal

Un método común para aproximar la normal es calcular el gradiente de un punto en la superficie. Se calcula de la siguiente forma:

$$N_x = D_{x+\epsilon, y, z} - D_{x-\epsilon, y, z}$$

$$N_y = D_{x, y+\epsilon, z} - D_{x, y-\epsilon, z}$$

$$N_z = D_{x, y, z+\epsilon} - D_{x, y, z-\epsilon}$$

donde  $\epsilon > 0$  y  $D_{x,y,z}$  es el valor del estimador de la distancia en el punto  $(x, y, z)$ . Dando como resultado el vector normal  $N = (N_x, N_y, N_z)$ .

# Ray marching

## Mandelbulb

El mandelbulb es una representación tridimensional del mapa  $f_c(z) = z^n + c$ . La potencia  $n$ -ésima del punto  $p = (x, y, z)$  es

$$p^n = r^n(\sin(n\theta) \cos(n\phi), \sin(n\theta) \sin(n\phi), \cos(n\theta))$$

donde

$$r = \|p\| \quad \theta = \text{atan2}(\|(x, y)\|, z) = \arccos\left(\frac{z}{r}\right) \quad \phi = \text{atan2}(y, x)$$

**John C. Hart** en su artículo 'Ray tracing Deterministic 3D fractals' asegura que para la familia cuadrática, tenemos la siguiente aproximación:

$$d(z) = \frac{|f^n(z)|}{2|f'^n(z)|} \log |f^n(z)|$$

# Mandelbulb

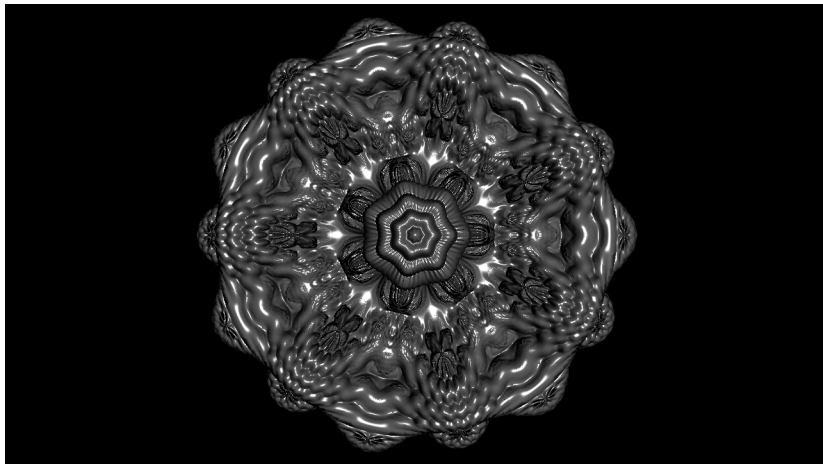


Figura: [Python] Mandelbulb

# Mandelbulb

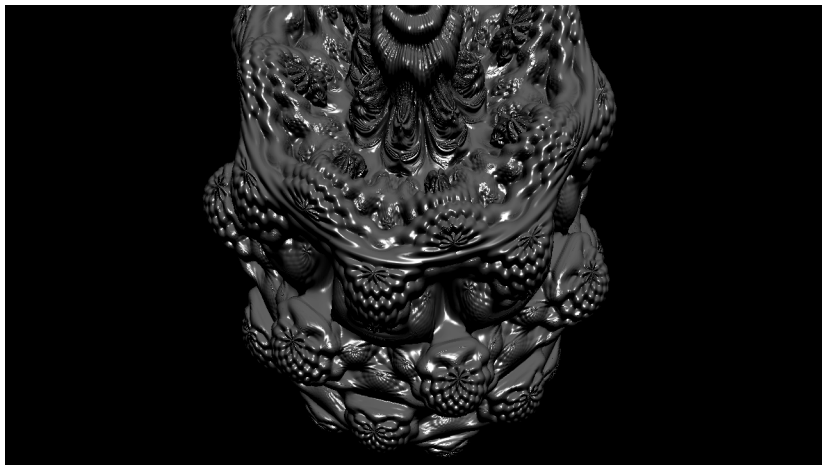


Figura: [Python] Mandelbulb



## Juliabulb

Los cuaterniones de Julia se construyen según el mismo principio que el conjunto de Julia tradicional. Utiliza números complejos de cuatro dimensiones en lugar de complejos de dos. Un cuaternión tiene dos componentes complejas más y se escribe como  $q = r + ai + bj + ck$  donde  $r, a, b, c \in \mathbb{R}$ . Existen relaciones un poco más complicadas entre  $i, j$  y  $k$ .

$$i^2 = j^2 = k^2 = -1$$

$$ij = k \quad jk = i \quad ki = j$$

$$ji = -k \quad kj = -i \quad ik = -j$$

# Cuaternión de Julia

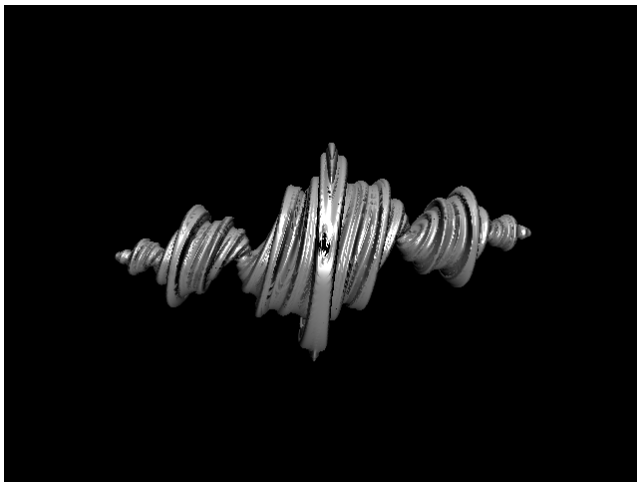


Figura: [Python] Cuaternión de Julia  $c = (-1, 0, 2, 0, 0)$

# Cuaternión de Julia



Figura: [Python] Cuaternión de Julia  $c = (-0,125, -0,256, 0,847, 0,0895)$

# Mandelbox

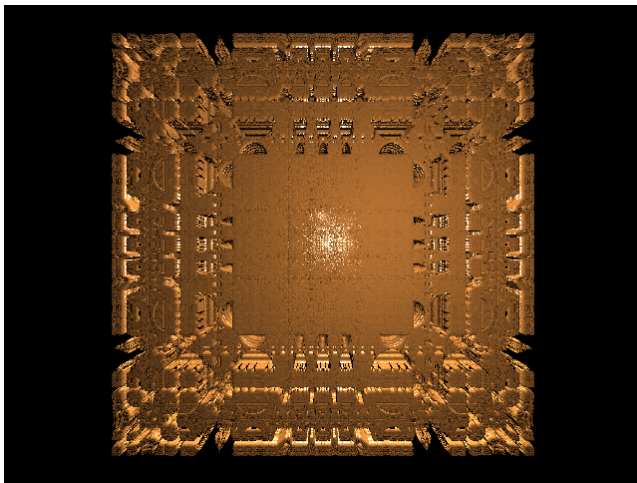


Figura: [Python] Mandelbox

# Optimización de renderizado

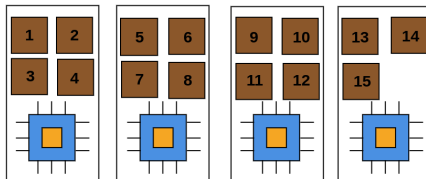


Figura: [Mathcha] División de 15 filas de píxeles entre 4 núcleos

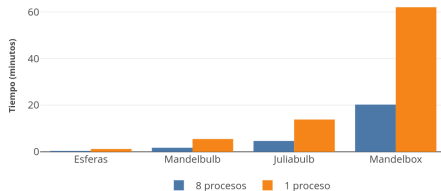


Figura: [Mathcha] Comparativa de tiempos de renderizado

# FIN